

GROUPE SHF (H)URC INFOS

N°18 NOVEMBRE 84



CAUTION
RADIO FREQUENCY RADIATION

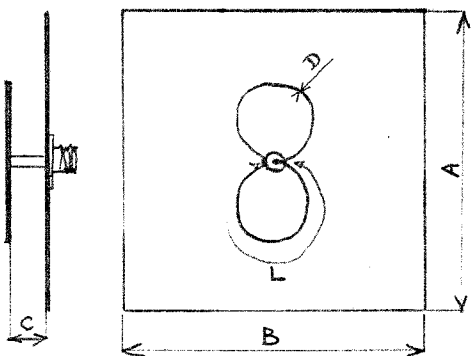
Les informations et schémas contenus dans ce document sont issus d'études réalisées par nos LABORATOIRES D'APPLICATIONS, dans lesquels des résultats satisfaisants ont été obtenus. Ces informations étant susceptibles d'une grande variété d'applications, Le groupe SHF HURC ne peut assumer aucune responsabilité quant aux conséquences éventuellement dommageables de leur mise en œuvre. Elles n'impliquent la concession d'aucun droit de propriété industrielle, domaine dans lequel, en outre, aucune garantie ne peut être donnée.

CE DOCUMENT NE PEUT ETRE COMMUNIQUE OU REPRODUIT SANS AUTORISATION ECRITE DU GROUPE SHF HURC

ANTENNES HYBRIDES DOUBLE-LOOPS VERSIONS SHF

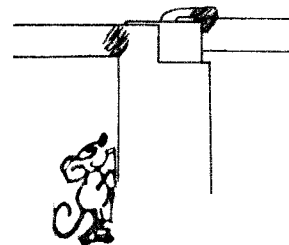
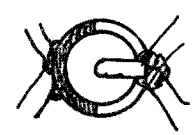
FAIT (Ant-sept. 84)

Dans le UHF Underlage Teil I-II (E4.4 et E4.3) on trouve sous la plume de DJ9HO une antenne 1296 MHz double-loop avec réflecteur, dérivée de l'hybrid-doppel-quad de DL7KM - Le gain est assez faible mais les dimensions et la simplicité en font une petite antenne intéressante pour les mesures. Voici ses petites sœurs pour les fréquences plus élevées - A noter que la longueur d'une boucle est sensiblement de $0,93\lambda$ alors que DJ9HO parlait de 1λ . Les boucles sont réalisées en fil argenté et l'époxy cuivré convient très bien pour le réflecteur. L'alimentation se fait par un bout de coax rigide (UT141 pour 13 et 9 cm, UT85 pour la 6 cm). Sur la version 13 cm les boucles, un peu lourdes, sont tenues par une pièce percée en teflon (*) Pour les fréquences élevées il est prudent d'ajuster C pour le meilleur ROS : avant soudure ou fixation du coax, on en rapprochant un peu les boucles (gare aux court-circuits des soudures) le vernis marine sur l'ensemble n'a pas l'air de perturber. Si certains débordent de courage il est possible d'essayer un symétriseur (UHF Underlage E 4.7)



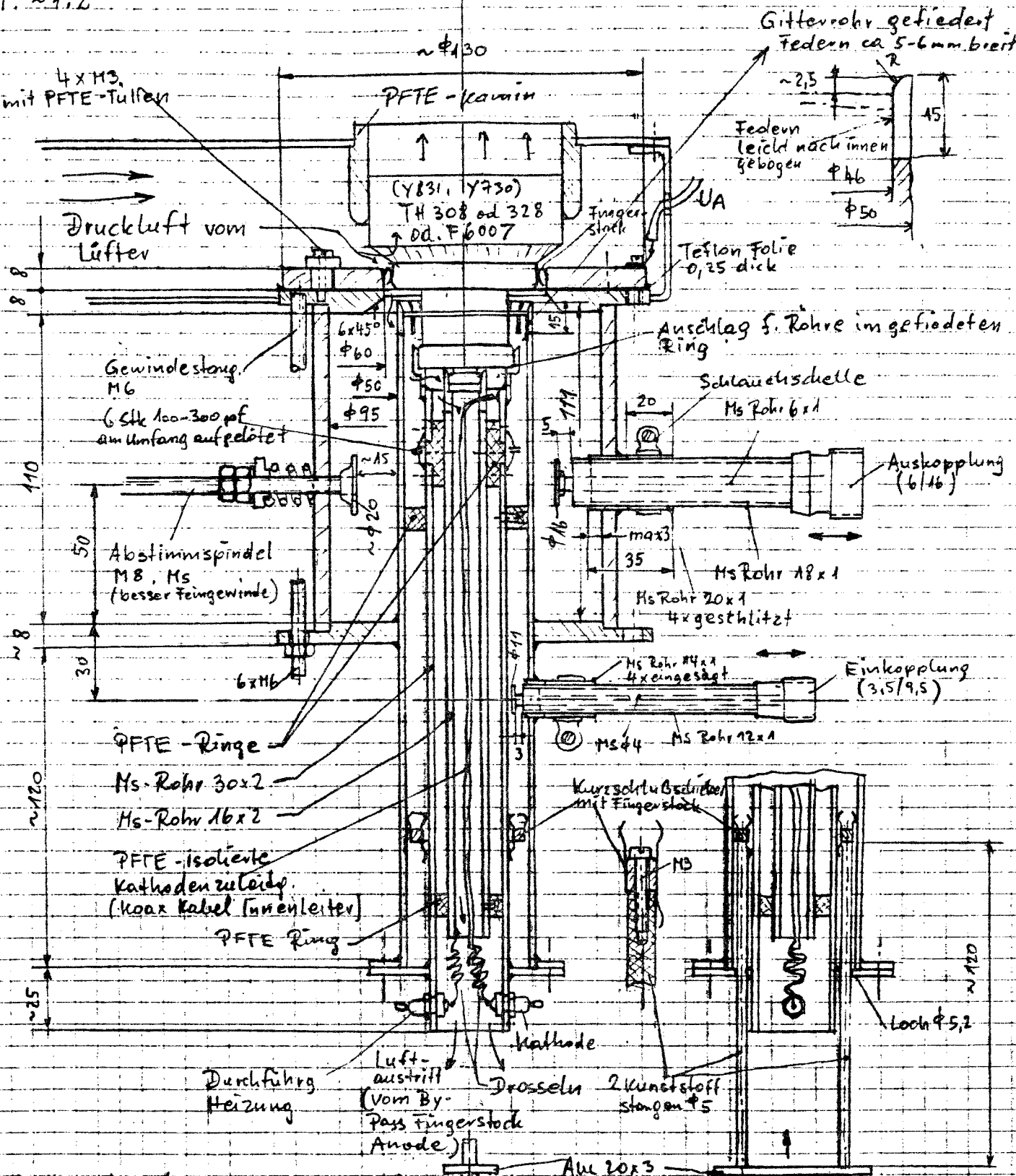
Freq	A = B	C	D	L
2320	140	14	2	120
3456	95	8	1,5	81
5760	58	5,5	1	48
10368	32	3	0,7	27

→ "Just For the Fun"
ça devrait faire à peu près le gain d'un bout de guide ouvert



* dans les cas où les boucles ne sont pas tenues, suivez le conseil de F1FHR : laissez tout d'un seul morceau en pliant bien (attention ça casse) c'est bien plus facile à monter (et YL ne s'interpresse pas de trop rire à ces "boucles d'oreilles")

M: ~1:2



Messwerte: (I_A Ruhe 200 mA, TH 308)

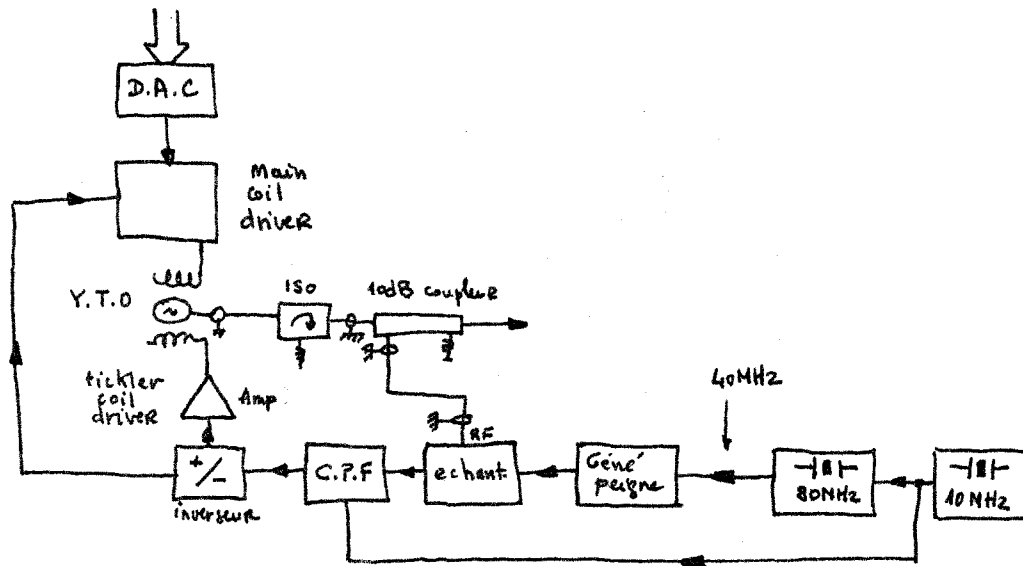
- U_A = 1750 V
- I_A = 950 mA
- Input = 80 W
- Output = 550 W
- Gain = 8 - 9 dB

73 Peter

Synthétiseur en bande S: (suite et fin provisoire)

(4)

le générateur 2,75 à 3,95 GHz (voir numéros précédents) ayant donné des résultats encourageants mais non pleinement satisfaisants il fallu reconsidérer le système à la base. Après avoir examiné plusieurs systèmes possibles en tenant compte des différents paramètres (vitesse d'acquisition, bruit de phase, surveillance de l'état de verrouillage...)
La solution du synthétiseur fut retenue. Le schéma en est le suivant:



La différence principale est que l'échantillonneur n'est plus utilisé comme comparateur de phase. Il ne sert qu'à "transposer" la fréquence de sortie du YIG en une fréquence utilisable par le comparateur phase / Fréquence (C.P.F.) -

Principe de fonctionnement:

Le YIG est toujours pré-positionné près de la fréquence désirée à l'aide du D.A.C 12 bits. Une partie de la puissance de sortie du YIG est amenée à un échantillonneur (voir plus loin description plus détaillée). La directivité de ce coupleur (≈ 20 dB) atténue les raies présentes à l'entrée de l'échantillonneur (port RF). Ces raies sont elles issues du générateur de peigne et qui se retrouvent sur la porte RF à cause du déséquilibre de l'échantillonneur qui ne peut être parfaitement équilibré sur toute la gamme (de la même manière qu'un mélangeur classique à diodes Schottky n'a pas une isolation infinie entre ses 3 ports). La sortie de l'échantillonneur est amplifiée par un amplif large bande faible bruit suivi d'un filtre passe bas 20 MHz. Le C.P.F. va travailler à une fréquence de 10 MHz.

La génération du peigne d'échantillonnage se fait à l'aide d'un oscillateur 80 MHz à quartz accordé en phase sur le pilote 40 MHz. La sortie est divisée par 2 à l'aide d'un circuit E.C.L. pour obtenir du 40 MHz qui sera la fréquence de base du peigne.

Avec un peigne ayant une telle fréquence de base on obtient une série d'échantillonnage (5) une fois au dessous (par exemple $40\text{MHz} \times 69 = 2760\text{MHz}$) de la fréquence à échantillonner (2750MHz) et une fois au dessus ($40 \times 71 = 2840\text{MHz}$) de celle-ci (2850MHz) - la différence des deux étant bien sûr toujours de 40MHz . Il faudra donc inverser le sens de l'action du C.P.F. - C'est le rôle de l'inverseur précédant le driver de la petite bobine du YIG.

Passons sur les détails de mise au point de l'ensemble. Le tout fonctionne maintenant correctement, les informations de verrouillage et extraction du CPF (bascules JK) et vient sur le micro processeur de commande générant une interruption en cas de perte de verrouillage. Le temps d'acquisition est dans toutes les combinaisons de 50ns maxi (ce qui n'est pas très très performant vis à vis des synthés haut de gamme) - la pureté spectrale est $> 70\text{dB}$. Le bruit de phase en comparaison à celui d'un oscillateur $4,2\text{GHz}$ en cavity semble être aussi bon du moins dans les conditions de mesures actuelles.

Un échantillonneur pour le comptage ou la stabilisation d'oscillateurs hyperfréquences:

schéma de principe:

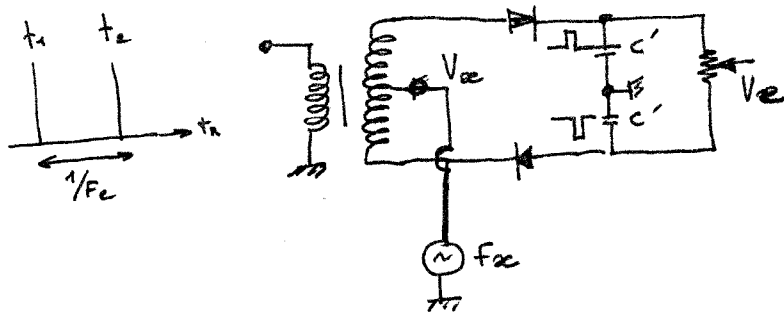
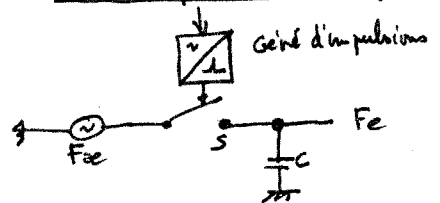
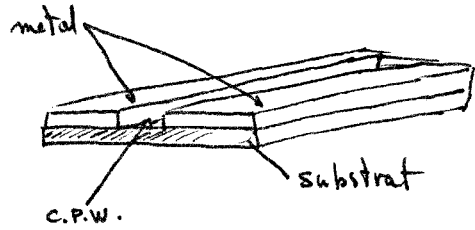


schéma équivalent simplifié:



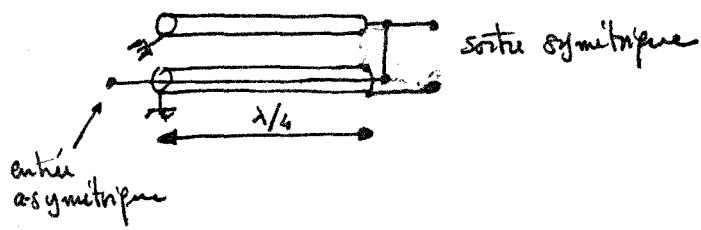
Dans le schéma équivalent simplifié le fonctionnement d'un échantillonneur apparaît clairement - Un générateur d'impulsions commande un switch pendant un temps très bref (bien inférieur à la période de F_{ce}) - Ce processus est répété à chaque impulsion. Par intégration on recueille une fréquence de la forme $F_c = n F_{ce}$ ($n=1,2,\dots$) - l'échantillonneur dont le schéma de principe est donné ci-dessus est à deux diodes (il peut en compter de 4 à 4 suivant les applications) - Un transformateur délivre deux impulsions de même amplitude mais de polarités opposées aux deux diodes qui chargent les condensateurs C' - le problème dans la réalisation d'un échantillonneur hyperfréquence est celui de la réalisation du transfo (symétrique R) - les techniques utilisant des ferrites sont limitées aux alentours de 2GHz . (des essais ont été réalisés en utilisant une ferrite A008 X 17 (Siemens) comme balun - les résultats sont utilisables jusqu'à 2GHz - Au dessus la perte en fonction de la fréquence est très rapide à croquer).

l'idéal pour ceux qui en ont les moyens est d'utiliser des montages C.P.W (coplanar wave guide) c'est en fait une guide réalisé sur substrat (porcéd, alumina...) par enlèvement d'une partie de métal



On peut réaliser des transitions coax/c.p.w. telles que l'on assure une symétrisation quasi parfaite. Malheureusement ces techniques ne sont pas à la portée de l'amateur moyen et nécessitent des substrats ayant un ϵ_r d'au moins 10 (PT6010 - Epsilon...)
le guide ainsi formé est divisé en 2 parties recevant ainsi des impulsions parfaitement symétriques. c'est ainsi que sont fait les détecteurs d'échantillonnage de certains appareils (compteurs hyper...)

Revenons à ce qui est possible pour l'amateur. On peut utiliser un échantillonneur en coaxial.

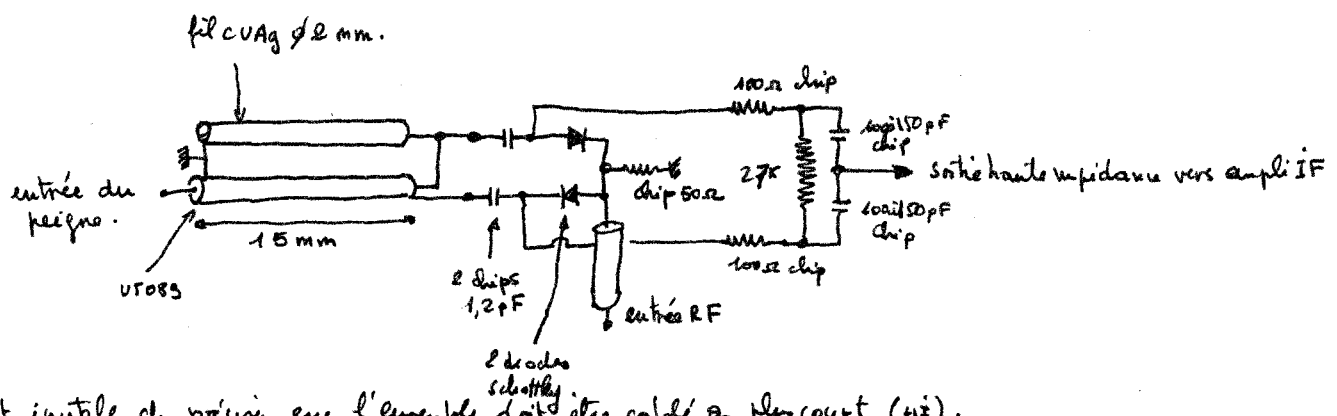


Cette technique est très connue pour symétriser des antennes (le bazooka en est un dérivé) ou pour des duplex. l'avantage d'une réalisation avec du coaxiale est outre la simplicité, les largeurs de bande de plusieurs octaves que l'on peut obtenir (en BF on glisse de fils finis sur le coaxial et on le ligne de symétrisation pour augmenter la bande passant vers le bas - la finit "rallongeant" la longueur électrique de la ligne).

Exemple: soit réaliser un échantillonneur 2.75 - 3.95 GHz.

$$F_c = (F_{min} + F_{max}) / 2 = 3,35 \text{ GHz.}$$

$$\lambda_c = 89,5 \text{ mm.} \Rightarrow \text{la longueur du pont d'onde en UT085 sera } \frac{\lambda_c}{4} \sqrt{\epsilon_r} \text{ soit environ } 15 \text{ mm}$$



Il est inutile de préciser que l'ensemble doit être calé au plus court (Hz).

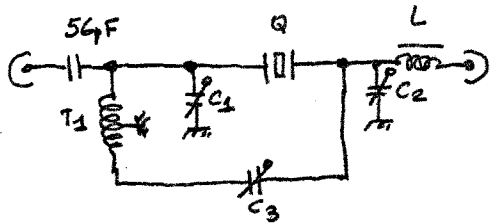
Essais de filtres à quartz passe bande 40MHz:

(7)

Pour tenter d'éliminer au maximum le bruit de phase de la référence d'échantillonnage on part d'un quartz 80MHz avec un le pilote 40MHz (très faible bruit : Quartz en cascade + filtre). La division par 2 amène théoriquement un gain de 6 dB (atténué dans le cas de références très faible bruit, le bruit des diviseurs peut dégrader celui de la référence. la limite inférieure étant de l'ordre de 160 dB/c à 100Hz pour des diviseurs TTL) -

L'adjonction d'un filtre à quartz en sortie peut également améliorer le rapport bruit de phase/porteuse pour des écarts de quelques KHz -

On essaie donc de réaliser un filtre à quartz 40MHz 1 pôle.



Les valeurs ont été choisies de celles données par DK1AG dans VHF comm.

$T_1 = 2 \times 5$ spires 10/100 sur femelle 2 trous (modèle moyen)

$C_2 = C_1 =$ ajustable 22 pF

$C_3 =$ ajustable 10 pF Johanson

$L \approx 0,22 \mu H$ Self surmontée.

Le filtre fonctionne sur 40MHz avec les caractéristiques suivantes :

perte d'insertion: 4 dB max

BP à -3 dB: 2,5 KHz

réponses parasites proches: +60 KHz à -2 dB
+115 KHz à -4 dB.

rejection ± 10 MHz (sans réponses parasites) > 40 dB.

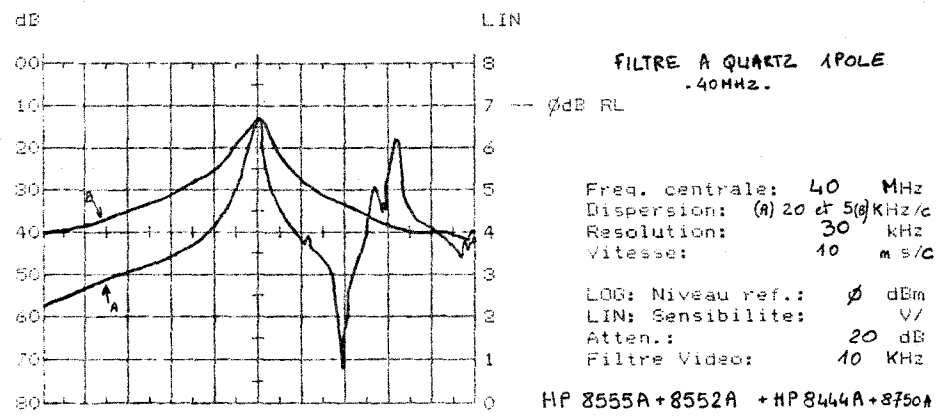
T.O.S d'entrée et de sortie très mauvais (RL \approx 3 dB)

autres réponses parasites en large bande (fondamentales; 80 MHz ...)

Un tel filtre peut convenir dans une application de réduction du bruit de phase / phase.

Différents essais ont été faits en changeant le nombre de spires du transfo T_1 . L'optimum pour une fréquence de 40 MHz semble être de 2×5 à 2×6 spires. en dessous la rejection hors bande est très mauvaise - Au dessus elle se dégrade pour $F > 100$ MHz à cause des capacités parasites des enroulements.

$C_3 =$ neutralisation.
 $C_1/C_2 \neq$ réglage perte d'insertion et facteur de Q.



Le prochain coup nous verrons comment calculer un générateur de phase.

Références: V. Manassis. Frequencies Synthesizers - Theory and Design. Sec. Ed. Wiley Interscience -
J. Mangeot. Elements de micro electronique hyperfréquences 6^e ed. 1982.
E. Gilchrist, Dr. Rogers, D. Files, J.G. Galli - The use of sampling techniques for miniaturized microwave synthesis applications. IEEE MTT-S DIGEST 1982 pages 431 à 433
Bert. C. Henderson. Mixer part II. theory and technology. Microwellen magazin. Vol 8, No 6. 1982.
Seymour. B. Cohn. Slot Line on a dielectric substrate. IEEE MTT-S. Vol 17, No 10. October 1969.
M. Grove, Sampling for oscilloscopes and other RF systems. Dr. Through X-Band. IEEE MTT-S vol 14, No 12. Dec 1966
+ autres articles dans IEEE MTT-S sur les baluns et l'inévitable collection des HP journal

LU POUR VOUS

IEEE MICROWAVE THEORY AND TECHNIQUES
AUGUST 1984

SPECIAL ISSUE ON ELECTROMAGNETIC-WAVE INTERACTIONS WITH BIOLOGICAL SYSTEMS

- Average SAR and SAR Distributions in Man Exposed to 450-MHz Radiofrequency Radiation
- Specific Absorption Rate Distribution in a Full-Scale Model of Man at 350 MHz
- Effects of 2450-MHz Microwave Energy on the Blood-Brain Barrier

QST Aug. 84

- Some basics of VHF design and layout - W1FB *débutants!?*
- Hints and Kinks a one trans RF amp AG4R
- The new Frontier - une nouvelle description au propre du preampli 13cm de OESPMJ

QST sept. 84

- a cathode driven tetrode For 6m - W7DVB *4x250*

Ham Radio July 84

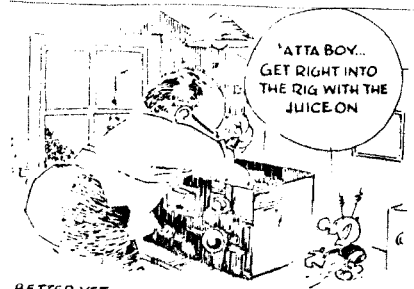
- an introduction to propagation W1JR *Résumé*
- Cooling semiconductors V.D. Martin
- Wideband VCO design WA4MGX
- Applied yagi ant. design WB3GBU *part 3 : 432 MHz K2RIW, W1HJR*

DUBUS INFOS 3-84

430MHZ/10GHZ MULTIPLIER USING 93015A BY JA1EPK
 EINFACHES NETZTEIL FÜR WANDERFELDRÖHREN VON DL7QY
 FREQUENZTEILER FÜR DEN MIKROWELLENBEREICH VON HB9MIN
 750W 432 MHz LINEAR PA BY DB6NT
 THE EXPERIMENT OF INJECTION LOCKING BY JA1DGF
 23 CM TRANSISTORIZED LINEAR PA 6W 16W AND 30W BY DL7QY
 TECHNICAL NEWS
 COAX CABLE DATA

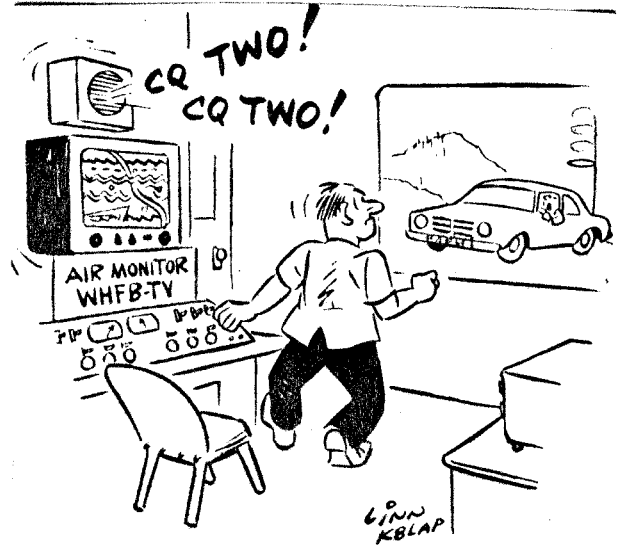
VHF Comm 3-84

Josef Grimm, DJ 6 PI	A Low-Noise Preamplifier for Weather Satellite Reception at 1.7 GHz
Harald Fleckner, DC 8 UG	A Noise Generator with Defined Noise Power for Applications up in the Microwave Range
Bernhard Kokot, and Dieter Schwarzenau	A Home-Made RF-Millivoltmeter Second, concluding part
Hans Ulrich Schmidt, DJ 6 TA	Introduction into Spread Spectrum Technology Article based on a Lecture at the Weinheim VHF-Convention 1982. Second, concluding part
Friedrich Krug, DJ 3 RV	An Optimum Crystal Filter for Coherent Telegraphy (CCW)
Wilhelm Schürings, DK 4 TJ	A VSWR-Indicator
Willy van Driessche, ON 6 VD	Suggestion for Standardizing SSTV and FAX Transmissions
Werner Häscheke, DC 0 RZ	C-MOS Frequency Counter for 10 Hz to 1 GHz
T. Bittan, G3JVO/DJ08Q	Satellite News



BETTER YET...
Switch to Safety

Electronique Industrielle Sept. 84
Quand les alambics s'automatisent



FAEIT cherche pour photocopie
 73 oct. 67 (K4670)
 73 Aug. 70 (W3DUK)
 MICROWAVES Mars 66 (LV. Blako)

Dunlopillo

RECHERCHE

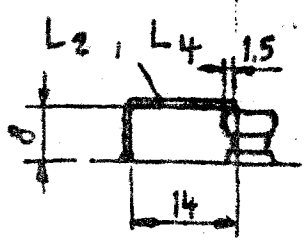
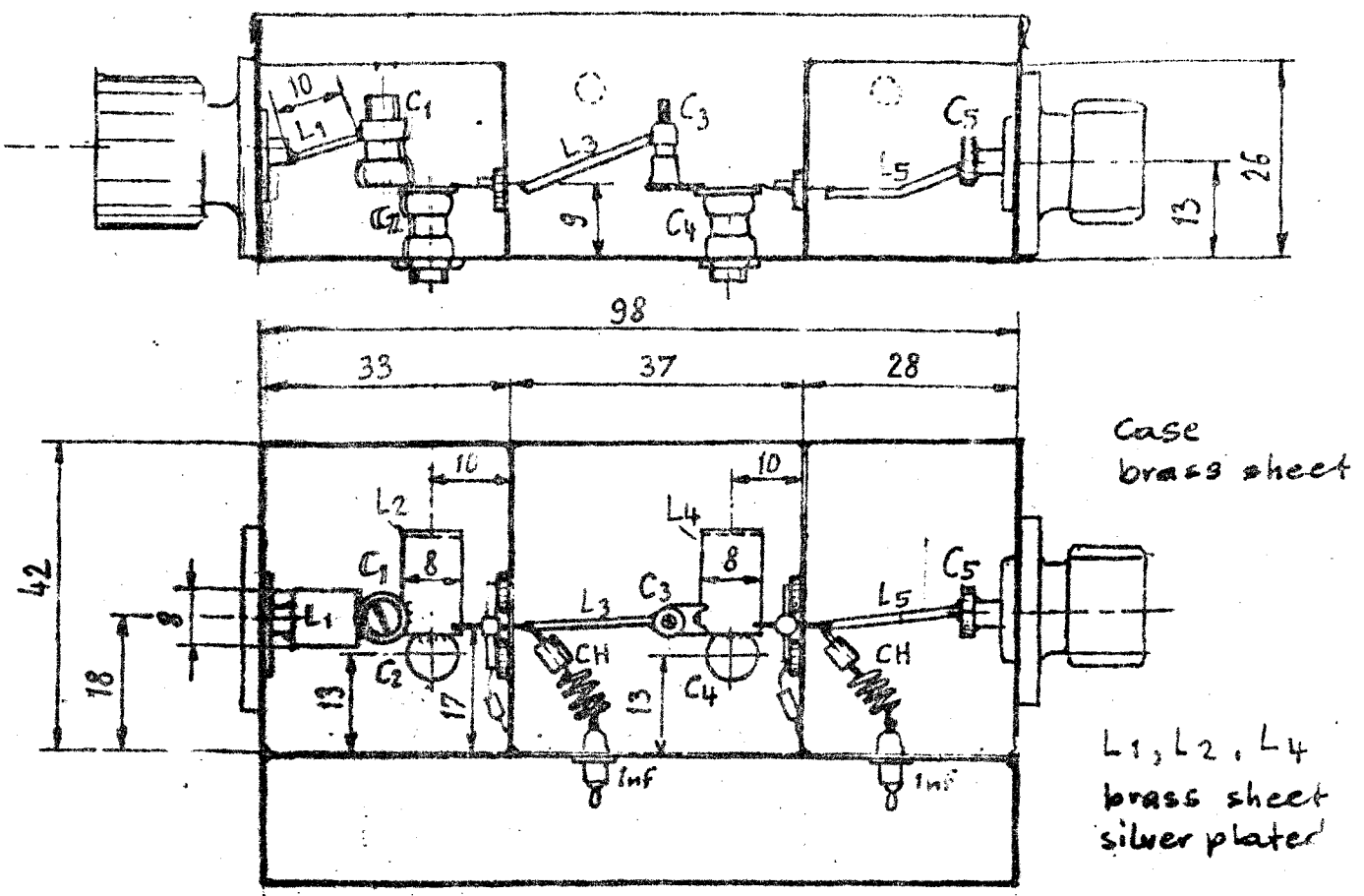
PILOTE d'essai

DUNLOPILLO 84:
 1/2 Md CA - 680 Personnes - 3 usines
 10 centres régionaux - 2 filiales

DES CHIFFRES - UNE RÉALITÉ

Merci d'adresser un dossier complet de candidature (lettre manuscrite, C.V. photo et prétentions) sous cdt. 90093/UN à Monsieur ROGER - Directeur du Personnel - DUNLOPILLO - Allée des Matronniers - 78202 MANTES-LA-JOLIE.

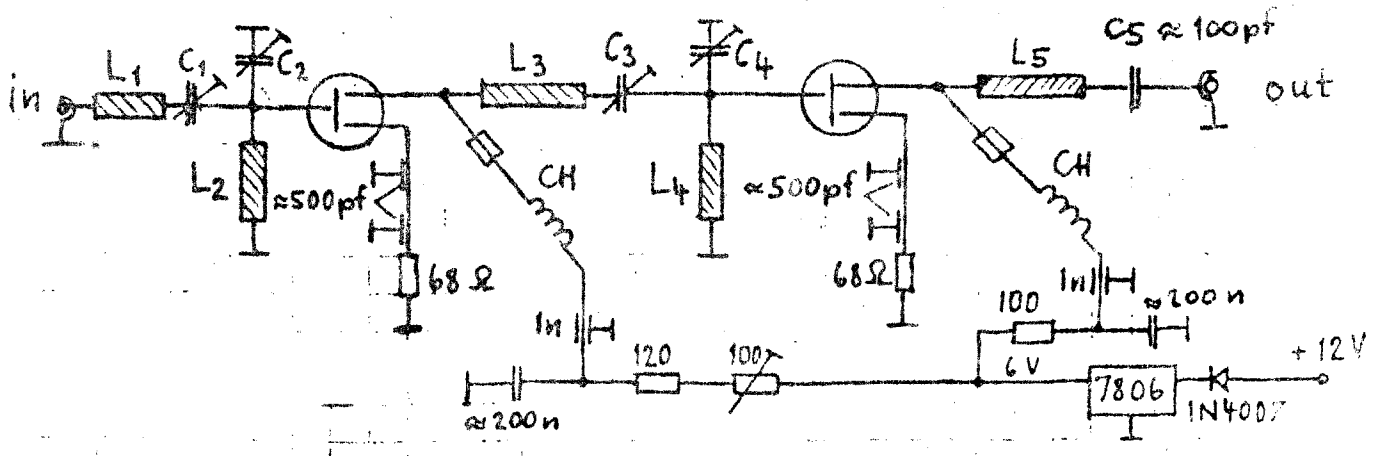
Dimensions in mm



- C₁, C₂, C₄ = 0.5-6 pf High Q air trimmer
- C₃ = 3 pf ceramic trimmer
- L₃, L₅ = Copper wire 1 dia, length 18 mm
- CH = 5 turns, 4 dia, + ferrit bead

MGF 1402

MGF 1200



Measurements: NF < 0.6 dB, gain 35 dB

Cette liste n'est pas complète par manque d'information (F1FLN)
 et peut-être même un peu fautive ? (F1EIT)

F1FLN			2320	F1BOC	51	CJ		F1CMA	02	BJ	
F1ELL	95	BI	2320	F1BNN	55	CI		F1EAH	57	D	
F6HLD/P	01	CG		F1DNE	92	BI		F1FTB	49	ZH	
F6BSJ	71	CG		F6DWG	60	BJ		F1GTR	17	ZG	
F1BBS	88	DI	2320	F1GGB	75	BI	2320	F6GBY	71	CG	
F2TU	88	DI		F6GCS	86	AG		F6GGI	71	CG	
F1FJL	68	DH		F6APE	49	ZH		F6DKW	92	BI	
F1AHO	68	DH	2320	F1AGR	78	BI		F6E2V	77	BI	
F1FHI	44	ZH		F6ACA	77	BI		F1VV	78	BJ	2304
F6DEK	78	AI	2320	F1HDF	77	BI		F1BDU	75	BI	2304
F1DED	78	BI		F1FYE/P	28	AI		F8QT	92	CI	2304
F9FT	51	CJ		F1EAN	86	AG					
GLU F6CTW F1EDS F6EVT F1DYD Guy ect...	59	BK	2320 ?	F1CPX	37	AH		F1HLR	93	BI	
				F1AXP	21	AD		F5KQ	63	BF	
								F1FEN/P	07	CF	
F6CER	77	BI	2320	F2KX	95	BI					
F6HPP	02	BJ		F6GRA/P F2EIT	85	ZG	2320?				
F1DBE	95	AJ/BJ		F1IE	17						
F6CIS	33	ZE/AE	2320?	F1BJL	86	AH					
F6ETI	56	YH		F6ECI	19	AF					
F6HMQ	29	XI		F1ERN	77	BI					
F6VAV	77	BI		F1AGC	87	AF					
F1AWT	95	BI		F1SA	55	CI					
				F6GCT	77	BI					
F1COW (F1KBF)	75	BI	2320	F6CCH	85	ZG					
F6FZK	95	BJ		F1AFJ	86	AG					
F1DPX	35	ZH		F1FHR/P (F6KEN)	36	BG					
F1DQX	94	BI		F6CCE	86	AH					
F1FGK	94	BI		F1ADF	91	BI					
F6KBK	77	BI		F1BUU	33	ZE					
F1KQA	77	BI		F1FVP	33	ZF					

Quoi qu'il en soit cette liste est à titre indicatif :
 stations QRV régulièrement ou pas et de quelques centaines de watts à quelques mW !



Description du système d'embrouillage et de contrôle d'accès réalisé pour Canal Plus.

Système à retard variable et d'accès clavier.

INTRODUCTION

Ce décodeur comporte un embrouillage du signal vidéo par retard variable, étudié dans le cadre d'un contrat IDF - RADITECHNIQUE sur la télévision à péage.

Le système d'accès est du type clavier, il est prévu compatible avec un système à carte à Mémoire et Didon.

I. CARACTERISTIQUES GENERALES

1.1 - Caractéristiques du système d'embrouillage image et son

En raison de son faible coût de production, le système d'embrouillage choisi consiste à modifier de manière pseudo-aléatoire la position de la partie utile vidéo par rapport au signal de synchronisation de ligne. Le système de réception devra alors répondre aux critères définis en II. 1. 3.

Les différentes positions du signal sont définies par rapport au front descendant du signal de synchronisation ligne (D_H).

Ces positions, au nombre de trois, peuvent prendre les configurations suivantes :

- avance de t_{ns}
- position de référence
- retard de t_{ns}

Ces positions sont choisies à partir de paramètres qui sont :

- deux éléments binaires issus d'un générateur de séquences pseudo-aléatoires qui fournit à chaque ligne un couple a, b ;
- d'un élément binaire obtenu par la division par 6 de la fréquence trame, cet élément C appelé "signal de papillotement" apporte une gêne supplémentaire par l'introduction d'un papillotement à fréquence basse (environ huit hertz).

L'ensemble de ces traitements doit rendre l'image pénible à observer ; ils n'assurent pas une confidentialité parfaite du programme.

Le système sera muni d'un dispositif de contrôle d'accès qui fournira la clé de désembrouillage sous la forme d'un mot de 20 bits.

Les différents "instants caractéristiques" nécessaires au fonctionnement (chargement de clé, synchronisation du générateur pseudo-aléatoire) sont fournis par la présence d'un niveau de blanc sur les lignes 310, toutes les 6 trames.

Le son d'accompagnement du programme sera rendu inintelligible par un système d'inversion de spectre autour d'une porteuse correctement choisie pour ne pas trop affaiblir les fréquences élevées.

Un signal non chiffré ressort en clair du décodeur.

1.2 - Caractéristique du système de contrôle d'accès

L'accès à un service se réalise pour l'utilisateur sous la forme d'un abonnement ou d'une autorisation particulière pour un programme.

La segmentation de l'audience est basée sur l'utilisation d'une clé principale, d'une personnalisation des décodeurs et d'une identification du programme (il existe 8 niveaux admissibles pour une clé principale).

Chaque mois (ou autant que nécessaire) une nouvelle clé principale est tirée aléatoirement et servira à calculer :

- la clé personnalisée transmise à chaque décodeur en fonction de son numéro d'identification (messagerie personnalisée)
- la clé de chaque niveau de programme qui sert à initialiser le générateur pseudo-aléatoire (GPA) de la source comme celui des décodeurs.

Les clés personnalisées transmises chaque mois seront entrées dans le décodeur et stockées pour toute leur période de validité.

En fonction du niveau de programme, la source ou les décodeurs calculeront la clé d'initialisation du GPA.

II. Embrouillage du signal image

II.1 Caractéristiques

Choix des retards

Le système d'embrouillage numérise le signal utile de la ligne en 1024 points. Les points possibles de décalage sont choisis multiples de quatre parmi les points numérisés.

Il a été choisi 16 points par retard soit 902 ns correspondant à une fréquence d'échantillonnage de 1135 Fl (Fl étant la fréquence ligne).

Sélection des retards

La sélection des retards s'effectue à partir des éléments a et b fournis par le générateur pseudo-aléatoire et de l'information C résultat de la division par 6 de la fréquence trame.

La combinaison de ces trois éléments donne la table de vérité suivante :

c	b	a	Positions
0	0	0	avance
0	0	1	nul référence
0	1	0	retard
0	1	1	retard
1	0	0	retard
1	0	1	avance
1	1	0	avance
1	1	1	nul référence

L'initialisation du générateur pseudo-aléatoire est effectuée toutes les 6 trames par une séquence de chargement du mot de départ. le compteur par 6 est synchronisé par la mise au blanc de la ligne 310.

Reconnaissance de cryptage

A la réception, la présence de niveaux de blanc dans la ligne 310 est la seule indication permettant de savoir si une émission est cryptée ou non. Dans le cas d'une émission cryptée, l'observation de ces lignes donne la séquence :

1000001000001000001.....

en faisant correspondre aux niveaux de blanc et de noir les valeurs logiques respectives 1 et 0. Eventuellement, une telle séquence peut être momentanément rencontrée au cours d'une émission non cryptée. Pour diminuer les risques de faire une reconnaissance erronée, le décodeur opère de la façon suivante :

- 1) Le signal reçu est divisé en groupes de 24 images
- 2) Un diviseur par 6, fonctionnant à la fréquence trame, est synchronisé par les niveaux de blanc éventuels, un groupe sur deux.
- 3) La séquence précédemment décrite est vérifiée dans les groupes où le compteur n'est pas synchronisé ; un second compteur totalise le nombre d'erreurs détectées.
- 4) L'émission est déclarée cryptée si le total des erreurs détectées par tranche est inférieur à un nombre 4.

Niveaux de programme

Le vecteur d'initialisation du générateur pseudo-aléatoire est un mot de 11 bits, spécifiques de chaque niveau de programme par principe inconnu de tous, sauf de la société d'exploitation Canal Plus.

La ligne 622, lorsque le signal transmis par la ligne 310 indique que l'émission est cryptée, véhicule de niveau de programme en cours sur 3 bits et permet au microprocesseur de délivrer la clé correspondante si le niveau d'abonnement souscrit le permet.

Cette ligne 622 sera alternativement blanche ou noire suivant les rythmes suivants qui correspondent par définition aux niveaux de programme :

Niv 1	0	0	1	0	0	1
Niv 2	0	1	0	0	1	0
Niv 3	0	1	1	0	1	1
Niv 4	1	0	0	1	0	0
Niv 5	1	0	1	1	0	1
Niv 6	1	1	0	1	1	0

avec la même convention pour représenter les niveaux de blanc et de noir que précédemment.

Le signal transmis par la ligne 310 est un mot de 6 bits qui permet d'identifier le niveau de programme en cours sur la ligne 310.

Après les 6 trames, le GBA est réinitialisé. Le cycle s'effectue pendant les lignes 310 à 335 incluses.

II.2 - Caractéristiques du signal émis

Les caractéristiques d'une ligne de signal émis sont représentées en fig. 3. Les signaux élaborés à l'émission doivent respecter les caractéristiques générales des signaux SECAM normes 1.

Toutefois pour réaliser un embrouillage satisfaisant et ne pas raccourcir l'image décodée, il est nécessaire de modifier quelques unes de ces caractéristiques. En regard des possibilités de la chaîne de transmission et des émetteurs et en attendant des essais en vraie grandeur qui devront être effectués avec des maquettes, les caractéristiques temporelles des signaux retardés sont les suivantes :

(Les valeurs sont données par rapports au front descendant du signal de synchronisation ligne : (0_H))

r étant la valeur du retard, le début de la ligne utile inversée se situe à $10,5 - (1,5 + r)$

la fin de la ligne à $1,5 - r$ par rapport à OH de la ligne suivante.

La figure 1 montre les caractéristiques des signaux pendant l'intervalle de suppression trame.

- Dans cet intervalle il n'y a pas d'embrouillage des lignes 623 à 23 et des lignes 311 à 335 incluses.

Dans la réalisation des décodeurs un soin particulier doit être porté sur les points suivants :

Choix des commutateurs analogiques qui doivent respecter des caractéristiques de diaphonie meilleurs que 46 dB dans la bande passante 0-5MHz.

- Les lignes à retard seront suffisamment corrigées de manière à ne pas modifier la réponse amplitude fréquence entre les différents retards.

- La bande passante globale doit être comprise de 0 à 5,3MHz entre +0 et -6dB.

III. BROUILLAGE DU SIGNAL SONORE

3.1 - Principe de la transformation

Le brouillage du son est réalisé par un retournement du spectre de base autour d'une fréquence de modulation déterminée.

La fréquence de modulation doit être facilement synthétisable dans le terminal, elle peut être choisie dans un rapport simple avec une fréquence caractéristique du signal vidéo, par exemple la fréquence ligne ou la fréquence trame.

3.2 - Qualité des signaux

Les caractéristiques d'un ensemble codeur et décodeur sont telles que :

- la somme des distorsions doit être inférieure à 1 %,
- à la jonction prise péritelévision, après décodage le rapport signal à bruit à l'entrée du récepteur sera meilleur que 66 dB non pondérés dans la bande 20/20000.
- la bande passante de 50 à 10 000 Hz sera contenue dans une variation de $\pm 1 \text{ dB}$.

3.3 - Description de la réalisation

La réalisation du débrouillage audio est schématisée par la fig.

- Le signal à l'entrée est fortement filtré avant d'être dirigé vers le démodulateur.

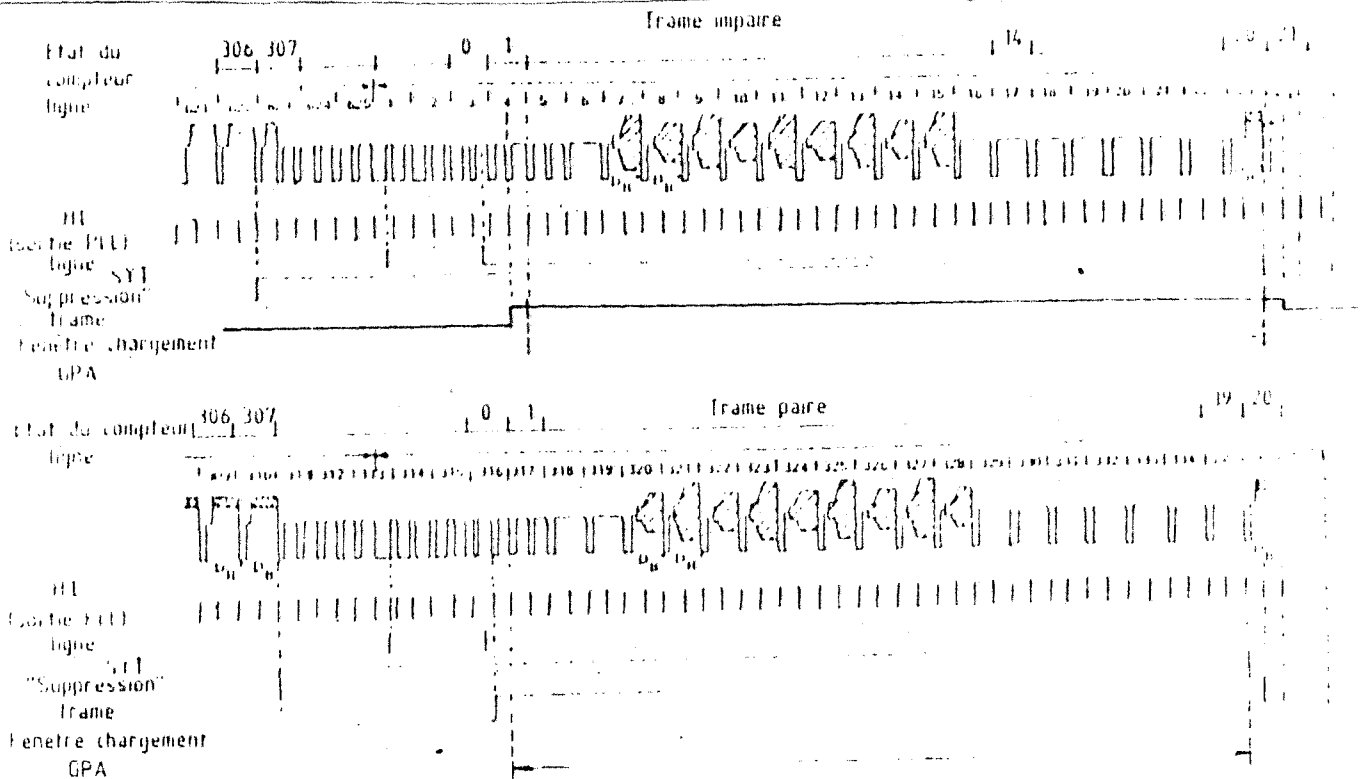
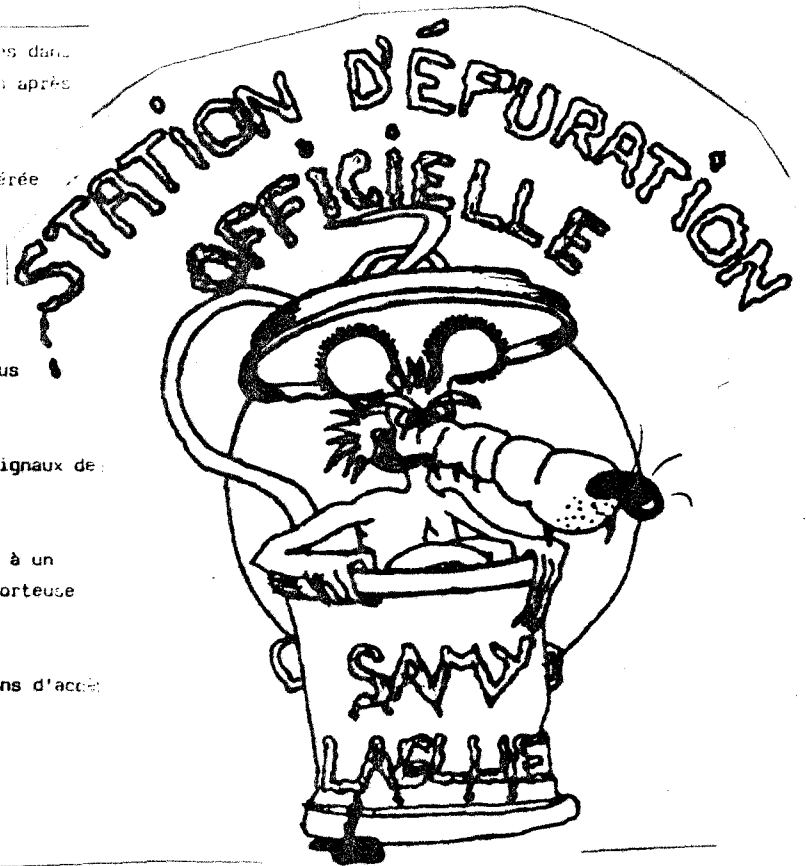
Ce filtrage doit éliminer les composantes de bruits introduites dans la transmission et que l'on retrouverait en composantes basses après démodulation.

- Le démodulateur reçoit le signal et la porteuse régénérée sur sa deuxième entrée.
- Le signal démodulé est désaccentué par une cellule RC dont la constante de temps a été choisie à 75 μ S.
- Le signal est ensuite filtré pour supprimer les résidus et battements éventuels occasionnés par le traitement.

Dans la réalisation, la porteuse est régénérée à partir des signaux de trames séparés du signal vidéo.

Après une mise en forme, la fréquence trame sert de référence à un multiplicateur par 256 réalisé avec PLL, la fréquence de la porteuse synthétisée est alors de 12 800 Hz.

3.4 - Un système de coupure du son sera prévu si les conditions d'accès au service ne sont pas satisfaisantes.



NB Le signal "suppression frame" correspond à une zone non décryptée

Figure 4

Position relative de la vidéo, de la suppression frame et du chargement des registres du GPA

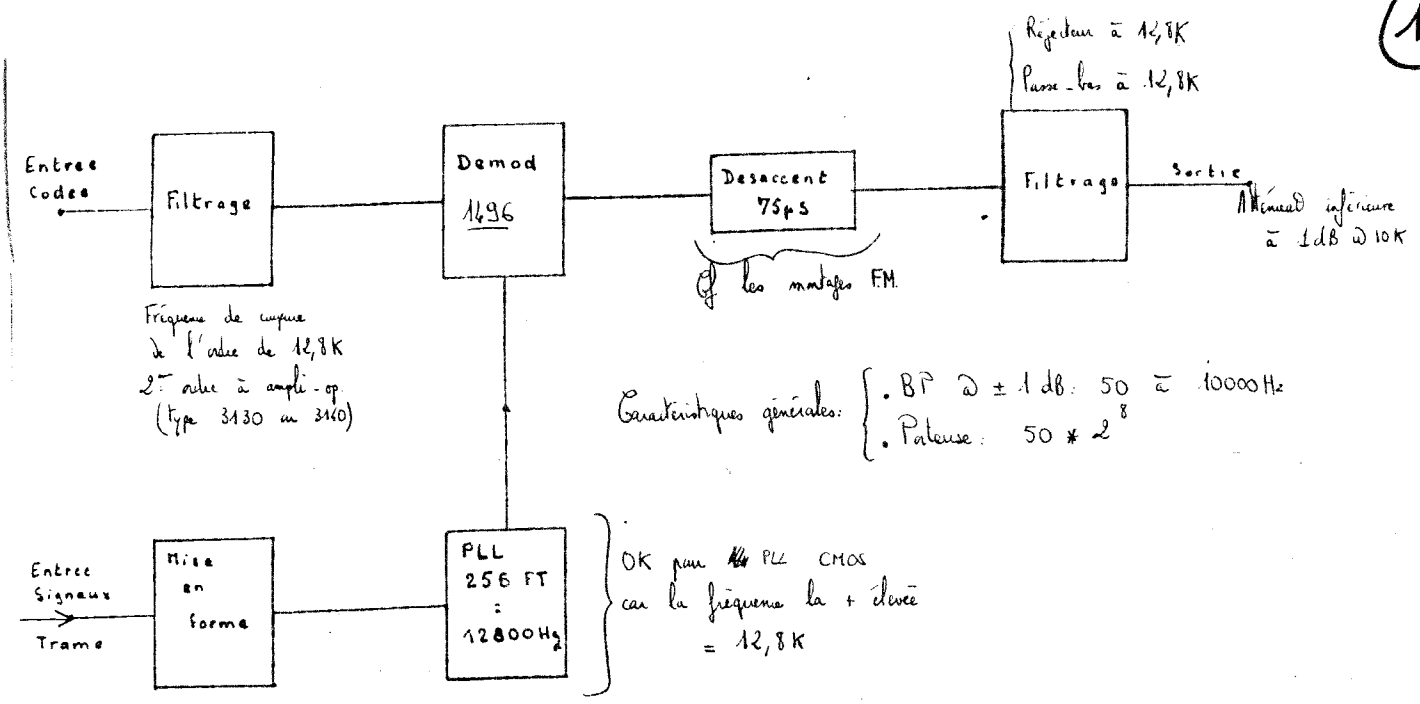


Fig. 2



Emission

Réception

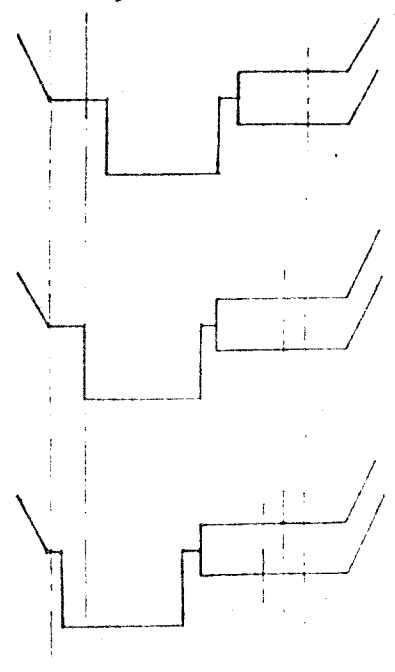
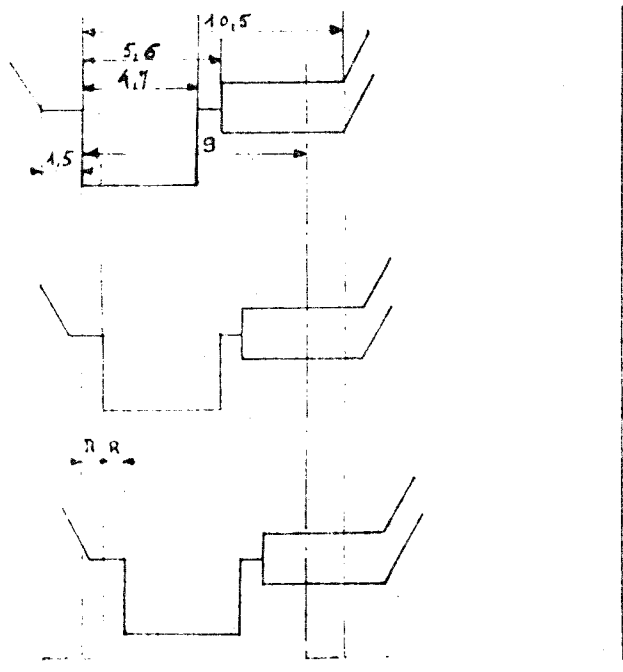
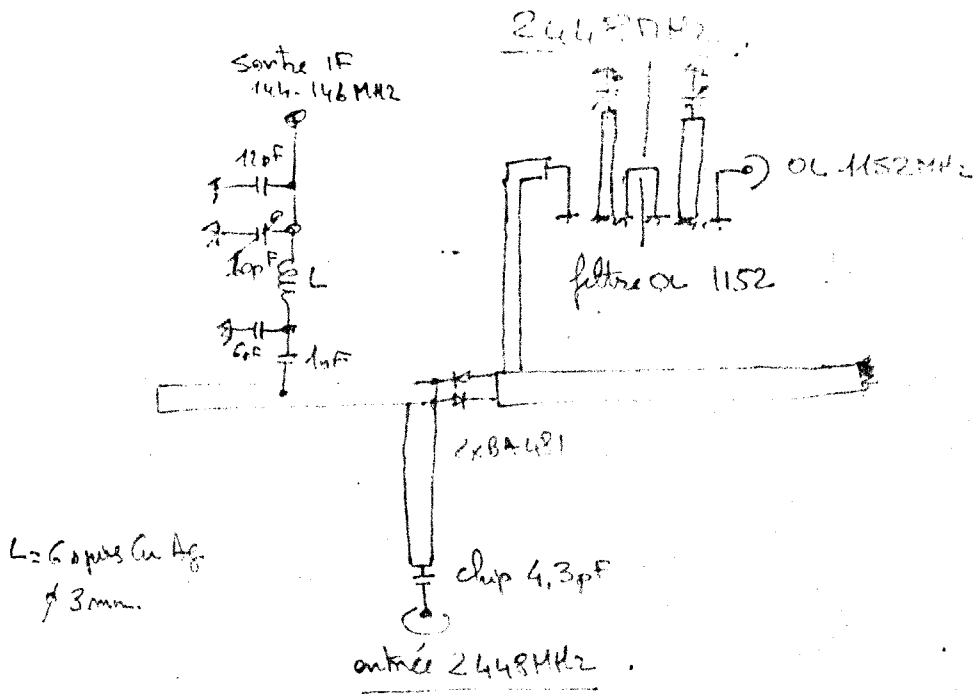


Fig 3

Essai de caractérisation mélangeur solo harmonique (15)



Les longueurs de lignes ont été ajustées progressivement pour optimiser la perte de conversion.

L'entrée RF se faisant à haute impédance, la liaison s'effectue avec un clip de faible valeur. Lors des premiers essais, un t.o.s trop important sur cette porte faussait les mesures. Pour plus de précision on introduit un atténuateur de 3 dB sur la porte RF. La source IF est adaptée avec un filtre en F.T qui permet d'obtenir un t.o.s tout à fait satisfaisant sur cette porte. $R.L = 30 \text{ dB} \Rightarrow T.O.S \leq 1,1$ cf courbe ci-jointe.

Pour la porte OL le TOS dépend évidemment essentiellement des réglages de filtre mais il est possible d'obtenir un retour loss de au moins 18 dB sans problème.

Pour le niveau d'OL, il faut être légèrement inférieur à 0 dBm sans affecter la perte de conversion. Un niveau d'OL supérieur (jusqu'à 10 dBm) ne change pratiquement pas la perte de conversion sur la bande aux fréquences cibles. (compression à 1 dB au m si

le T.O.S.), la porte RF peut tout simplement être ajustée à l'aide de la ligne $\lambda/2$. Avec la ligne de longueur maximale mesurée, on a un TOS min sur 2456 MHz. Dans cette configuration à 2456 MHz, on a un retour de 30 dB. Pour obtenir à l'aide de la directivité du coupleur utilisé

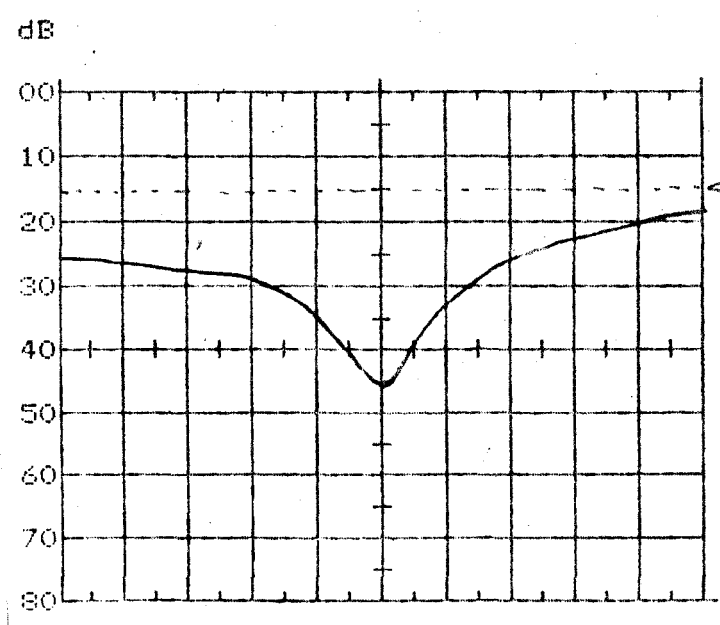
Une fois tous les éléments optimisés la perte de conversion du mélangeur est de l'ordre de 8 dB. Il semble relativement difficile d'obtenir moins sans filtre d'entrée - les mesures annoncées dans HAM RADIO d'octobre 1978 par WA4RDX me semblent assez optimistes - j'aurais envie de mesurer le T.O.S sur la \ne porte de son mélangeur d'autant que son montage me semble bizarre! Les pattes de diodes larges de 5 mm servent-elles d'adaptation? Quant à l'isolation entre portes elle est moyenne mais pas plus!

Note sur la relation TOS porte RF / perte de conversion =

Après optimisation du TOS sur la porte d'entrée RF il semblerait que l'optimum de perte de conversion ne soit pas obtenu au minimum de TOS sur la porte d'entrée -

Ces éléments sont donnés sous réserve - à cause du manque de directivité du coupleur directif utilisé pour les mesures sur la porte R.F.

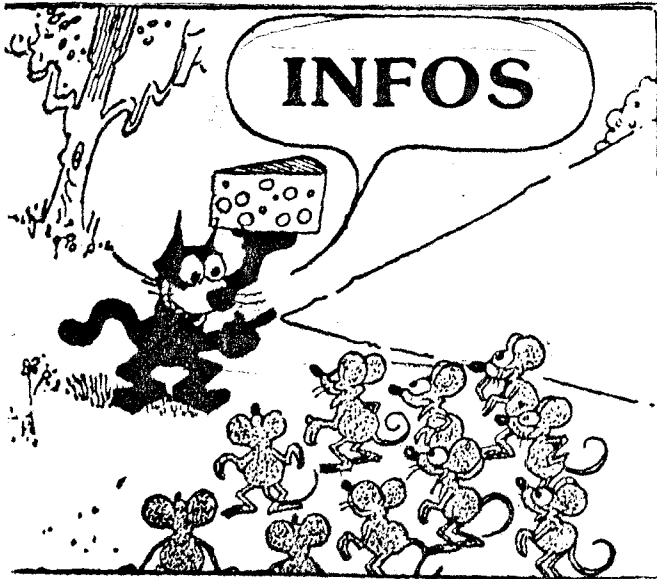
La ligne $\lambda/2$ doit être plus courte pour le minimum de perte de conversion que pour le minimum de T.O.S. - Ces constatations sont à vérifier.



← 0 dB return loss

$F_c = 145 \text{ MHz}$
 span = 10 MHz/div.
 vert = 10 dB/div.

Return loss de la porte IF



COURS ENST sept. 84
 TRANSISTORS DE PUISSANCE - CARACTERISATION -
 CONCEPTION D'AMPLIFICATEURS
 R. GIRARDAT - M. BLANCHANDIN (Alcatel Thomson
 Puisseaux hertziens)

«...les différents laboratoires publient un certain nombre de résultats qui permettent de dire qu'à l'heure actuelle on sait réaliser des amplificateurs à transistors délivrant des puissances de

- quelques centaines de watts en dessous de 1GHz
- 100 W vers 2GHz
- 20 W à 4 ou 5 GHz
- 10 W à 7 GHz
- quelques watts jusqu'à 15 GHz

les fortes puissances en dessous de 4GHz sont obtenues en classe C.

Les laboratoires de TH-CSF-DFH ont déjà réalisé :

- 100 W à 1GHz (16 transistors tous en parallèle)
- 50 W à 2GHz (objectif à court terme: 200W)
- 5 W à 4GHz
- 5 W à 7GHz
- 1,5 W à 8GHz

L'intérêt des amplificateurs de puissance à transistors réside principalement dans :

- durée de vie plus grande que pour les tubes
- basse tension d'alimentation
- encombrement et poids réduits

Il faut pourtant se garder de condamner les tubes :
 La concurrence du transistor amène une saine émulation»

GARANTIE

- les instruments et accessoires PIQUETTE et RICARD bénéficient d'une garantie s'appliquant pour un délai de 3,5 picoseconds à partir de la date de l'achat.
- Toute utilisation non conforme aux prescriptions des constructeurs annule sine die la garantie et amène le contrevenant à verser des dommages et intérêts aux fabricants pour détournement de propriété de brevets.
- La garantie inclue le remplacement de 'éléments défectueux constatés pendant sa durée de validité par des éléments similaires ou pouvant faire office.



La reproduction de tout document est strictement interdite même pour usage personnel - le contrevenant s'expose au paiement de quatre tonnes de bière de qualité supérieure pour préjudice moral.

* NB: l'utilisation du détecteur par une personne en état d'ébriété même légère annule également la garantie.

La réalisation d'un préampli 144 n'est pas vraiment critique mais on peut quand même retenir quelques guides :

- l'attaque au point chaud par une capa ajustable de pas trop mauvaise qualité permet une optimisation aisée en bruit et surtout l'utilisation d'un type de transistor quelconque (il suffira de changer la valeur des polarisations)
- beaucoup trop de gens utilisent simplement une résistance 50Ω à la sortie; cela abrutit exagérément le gain et donne un mauvais TOS de sortie; un balun large bande n'est pas si dur à réaliser ?! (1)
- un filtre à la sortie évite aux étages suivants de recevoir des signaux hors bande amplifiés qui peuvent très vite les saturer. (2)

A noter pour les gens qui sont gênés par un signal fort à proximité (Eurosignal, émetteur FM ...) qu'il est possible de mettre un filtre stop-bande (notch) à l'entrée du préampli pour supprimer la fréquence indésirable - Ceci est réalisable avec un minimum de pertes par une demi onde coaxiale en court-circuit, raccourcie par une capa ajustable (c'est également valable pour le 432 MHz ou autre ...)

DI 7 VY Scriptum der Vortrage Weinheim 84

Voici donc un exemple de montage simple et bon marché de performances tout à fait correctes :

13 pF TRONSER à lames fraisées

6 pF piston STETTNER ou équivalent

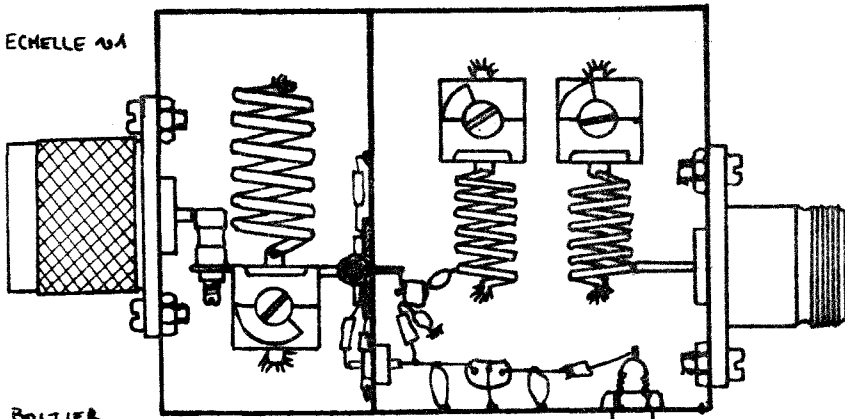
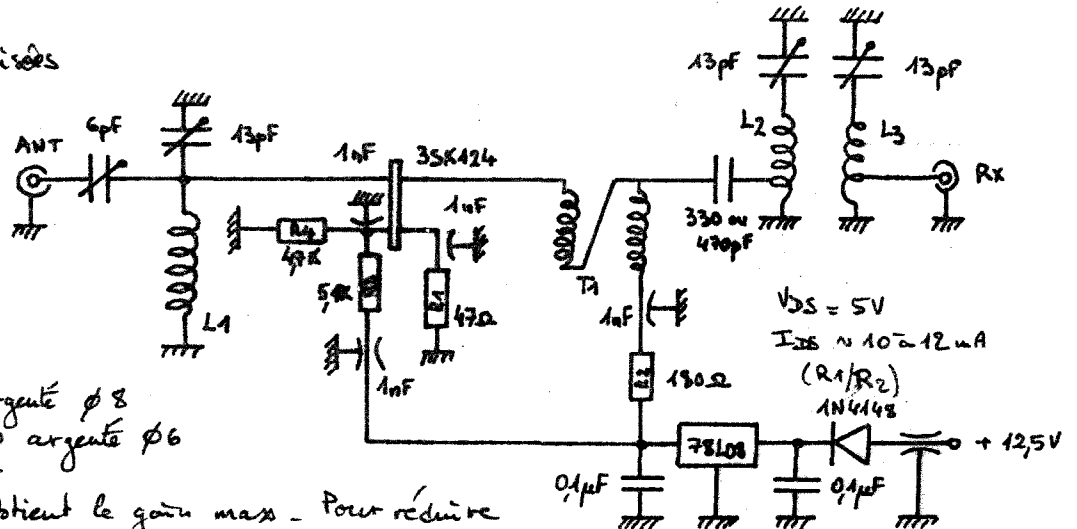
T1 6 spires 2x 12/100 émaillé torsadés dans perle 2 trous

Siemens A048 x p17 (BERIC FDT 1)

L1 6 spires 15/10 argenté ø 8

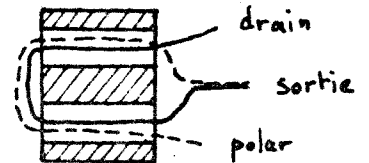
L2=L3 6 spires 10/10 argenté ø 6 prise à 3/4 spire

Avec R3 = 5,1KΩ on obtient le gain max - Pour réduire augmenter R3 (jusqu'à 47K). Pour le gain min on peut remplacer le pont diviseur R3-R4 par une résistance ~ 10Ω reliée à la source

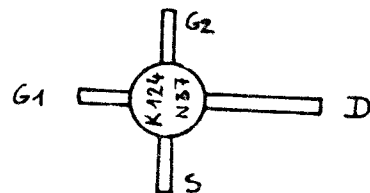


BOITIER SCHUBERT 557x30

plaque epoxy à environ 20 mm haut



Bobinage du transfo (1 seule spire est représentée pour plus de clarté)

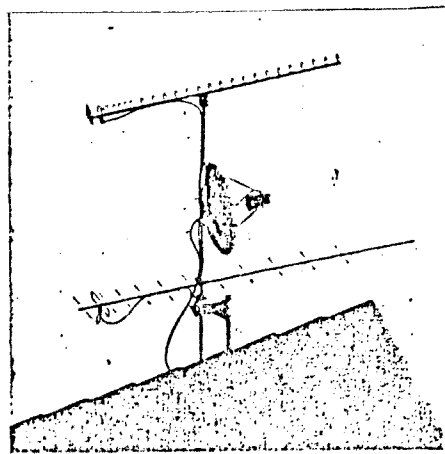


Bibliographie (2) F6CER Preampli 144 3SK97 HURK INFOS N° 8 (Nov. 82)

(1) F1EIT Preamplis 432 bon marché REF 36 n° 13 (4/83)

LITTÉRATURE UTILE Le bruit dans la réception en THF F6FTN-F6JZK OCI oct. 82
Les préamplificateurs de réception F2MM Radio REF Mai 81

Der SHF-Amateur



(grâce à l'obligance de DF1EQ qui m'envoie la photocopie d'un des 13 exemplaires du journal de DC Ø DA, je suis maintenant en mesure de faire les photocopies pour la France (ou ailleurs!) vous remarquerez que certains textes sont parus déjà dans d'autres revues (Dubus, EME news...) comme ceux de OEBPMI par exemple. Je tiens néanmoins à tout conserver comme le journal original. Par contre la mise en page est revue afin de réduire les frais de tirage et d'expédition. Cet exemplaire comportait 60 pages qui ont été ramenées à 38 en réduisant la dimension des textes (67%) et en regroupant ceint que possible les figures isolées d'un même montage.

Herausgeber: DC Ø DA

Ceux qui désirent recevoir "Der SHF-Amateur" peuvent m'envoyer des enveloppes A4 self adressées et suffisamment affranchies à bientôt en SHF? F1E1T

Info Nr. 6/84

Jose BALANCA 7 rue Made
32240 MALAKOFF

Inhaltsverzeichnis:

In eigener Sache (Betreff 10 GHz) DC Ø DA

Betriebsergebnisse mit dem 2stufigen 10GHz-Vorverstärker von PA 2 DOL aus Info Nr. 4/83
DC Ø DA

Leistungsgenerator (1152 MHz) für die GHz-Anwendung DC Ø DA / SSB-Electronic

Vorschlag für einen quarzstabilen 10GHz-Sender:
DC Ø DA, DC 3 QS, DK 1 UV

- 10 GHz-Transverter-Baugruppen
- Eine Frequenzaufbereitung -
DC Ø DA, DF 6 VB, DK 2 AB
 - Der Subharmonische Mischer -
DC Ø DA, DG 8 UG

10 GHz-Hornstrahler für 20dB-Gewinn DK 1 UV
(Papiermodell und Papierschablonen können von mir ausgeliehen werden - DC Ø DA)

9cm-Linearverstärker für den 9cm-DK 2 AB-Transverter aus Info 4/83 mit dem neuen Valvotransistor EF691A DL 3 HAL / DC 5 HN

2stufiger 9cm-Vorverstärker mit 6PY13
DC Ø DA, DK 2 AB

Kornhorn für 23 u. 13cm für Spiegel $\frac{f}{D} = 0,38$
DB 1 PM (Info und Zeichnung DK 1 VC)

EME-PA mit TH 316 oder YD1304

EME-PA mit 2 x MGP 1412 O2 9 PMJ (Info: DC 6 TV)

Technische Daten (S-Parameter) der Siemens-Transistoren

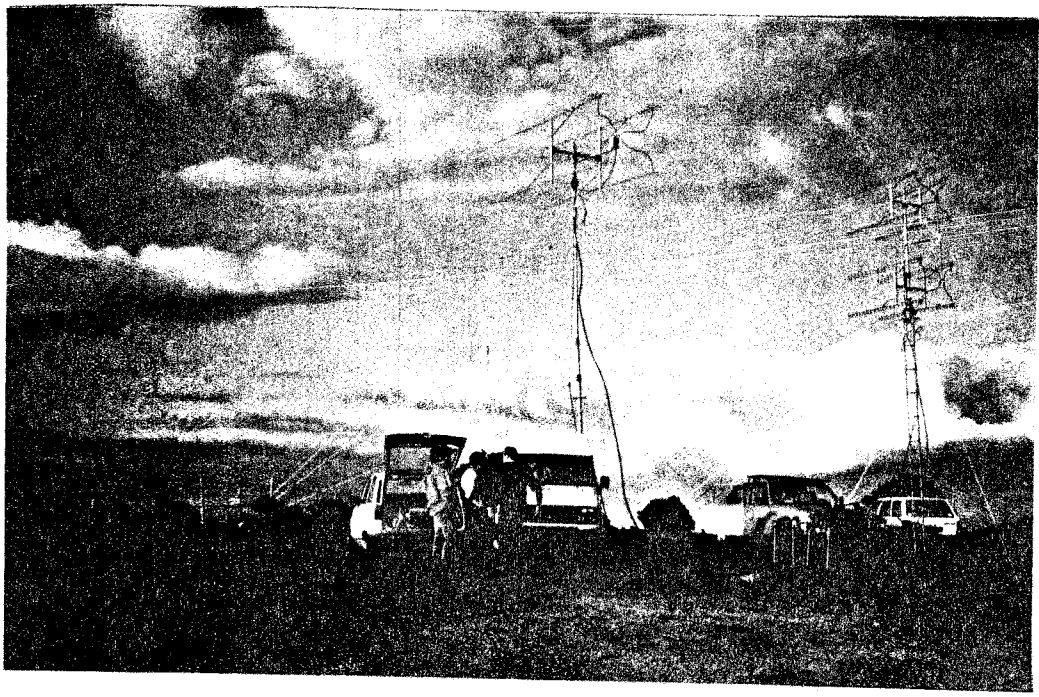
Technische Daten neuer Valvo-Transistoren
EPQ05, BFG90A, BFG91A, BFG96 Info: Valvo

Vorschau auf Info Nr. 7

Weitere 10 GHz-Transverter-Baugruppen -DC Ø DA

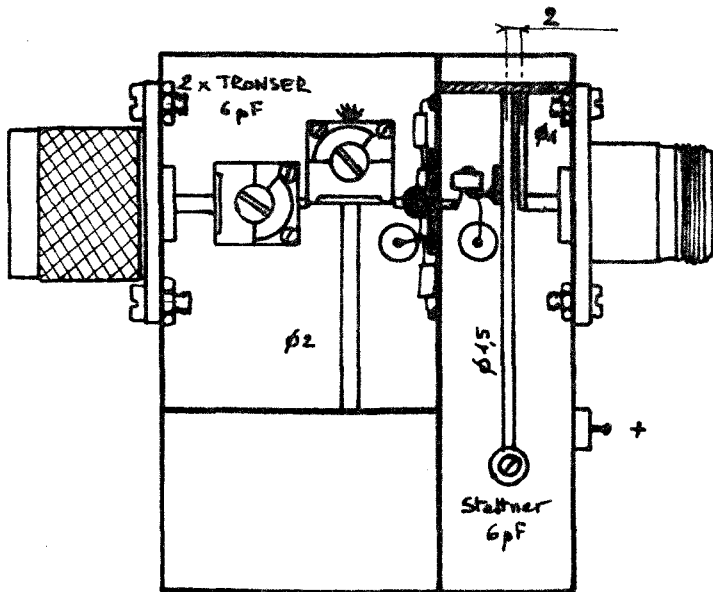
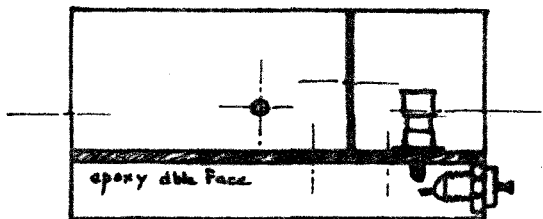
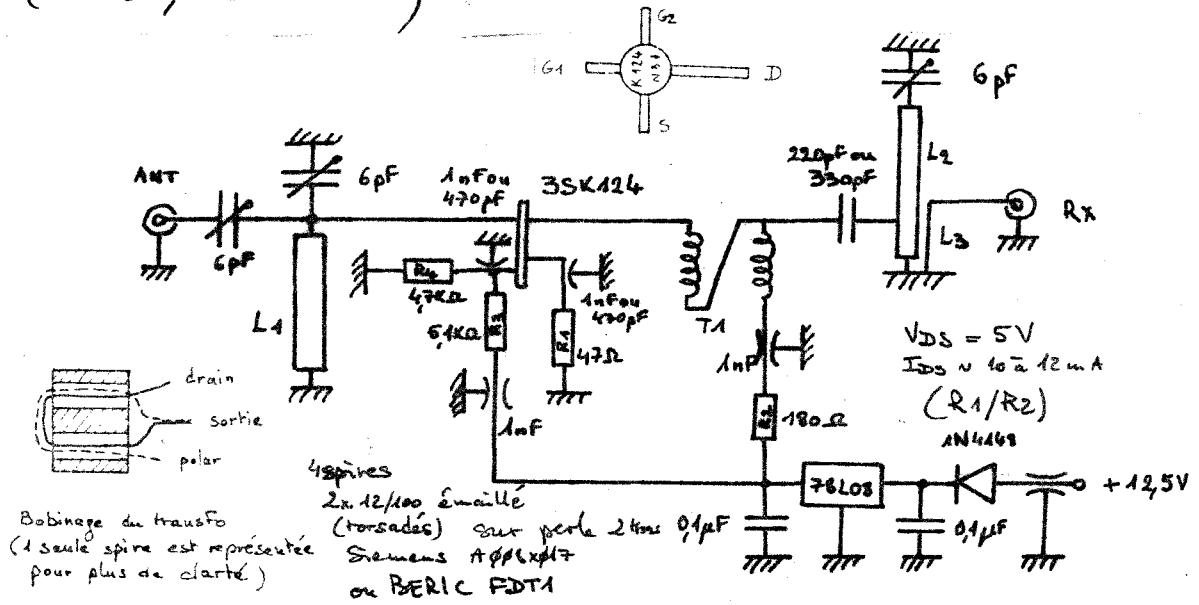
Ein 10 GHz-SSB-Transverter mit GaAs-Fet-Mischern in Platinentechnik -DK 2 AB

Verschiedene 10 GHz-Hörner per Computer berechnet -DK 1 UV



Avec un transistor pas cher, il est dommage d'avoir à utiliser des capas ajustables de luxe d'autant que ce n'est pas nécessaire - Voici un petit montage utilisant des lames fraisées TAONSEA et un piston Stettner. Les performances sont honnêtes pour le trafic tropo et c'est le montage idéal si comme F1FLN et F1FHI vous passez votre temps à bruler des préamplis pendant les contacts: 2 ou 3 montages prévus ce pour un budget raisonnable.

Entrée classique; 2 capas parce que c'est le plus facile à régler - sortie sur un balun large bande pour la stabilité jet un filtre pour limiter le gain hors bande à l'entrée des étages suivants. A noter que n'importe quel autre transistor convient en adaptant la polarisation (3SK97, 53030 ...)



échelle n°1 Boitler Schubert 557430

TOWARD GREATER EFFICIENCY

